

Prof. Dr. Alfred Toth

Die Haupttypen koexistentieller Objektsubstitutionen

1. In Toth (2012) hatten wir die folgenden, den drei semiotischen Objektbezügen entsprechenden Haupttypen koexistentieller Substitutionen von Objekten durch Zeichen unterschieden:

Iconisch-koexistentielle Substitution

$\Omega \rightarrow [\Omega, Z]$ mit $\Omega \supset Z$,

Indexikalisch-koexistentielle Substitution

$\Omega \rightarrow [\Omega, Z]$ mit $\Omega \subset Z$,

Symbolisch-koexistentielle Substitution

$\Omega \rightarrow [\Omega, Z]$ mit $\Omega \cap Z = \emptyset$.

2. Nimmt man jedoch die mereotopologischen Unterscheidungen von Vorder- und Hintergrund-Relationen, wie sie z.B. von Bittner (1998) dargestellt worden waren, zum Ausgangspunkt, so kann man koexistentielle Objektsubstitution in 8 Haupttypen unterteilen, die im folgenden kurz dargestellt werden.

2.1. Symbolisch-koexistentielle Substitution

$\cap (\Omega, Z) = 0$

Modell:



2.2. Indexikalisch-kontingente Substitution

$\cap (\Omega, Z) \in (0, 1)$ mit $\mathcal{R}(Z) \subset \mathcal{R}(\Omega)$ oder $\mathcal{R}(\Omega) \subset \mathcal{R}(Z)$ (\mathcal{R} für Rand)

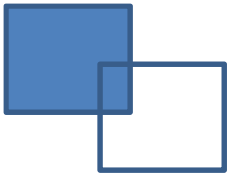
Modell:



2.3. Iconisch-tangente Substitution

$\cap (\Omega, Z) \in (0, 1)$ mit $Z \subset \Omega$ oder $\Omega \subset Z$ und $Z \neq \Omega$

Modell:



2.4. Identische Substitution

$Z = \Omega$ (bei Ostensiva; vgl. Toth 2012)

Modell:



2.5. Iconische negative Kontingenz des Zeichens

$Z \subset \Omega$ und $\mathcal{R}(Z) \subset \mathcal{R}(\Omega)$

Modell:



2.6. Iconische negative Kontingenz des Objekts

$Z \supset \Omega$ und $\mathcal{R}(Z) \supset \mathcal{R}(\Omega)$

Modell:



2.7. Zeichen als Teil des Objektes

$Z \subset \Omega$



2.8. Objekt als Teil des Zeichens

$Z \subset \Omega$



Literatur

Bittner, Thomas, Towards a Model Theory for Figure Ground Location. In: Proceedings of the 6th Symposium on Mathematics and AI. Forth Lauderdale, FL 1998

Toth, Alfred, Zeichenklassifikation nach Substitutionstypen. In: Electronic Journal for Mathematical Semiotics, 2012

12.4.2012